دراسة آلية الارتباط في مركبات البور الثنائية التي تتبلور وفق النموذج البنيوي AIB2

د. عاصم أصلان ^{*} كنده محمود ^{**}

(تاريخ الإيداع 22 / 12 / 2015. قُبِل للنشر في 13 / 7 /2017)

□ ملخّص □

تهدف الدراسة الحالية على نحوٍ رئيس إلى تفسير الارتباط في صف كبير من المركبات المعدنية لعنصر البور، التي تتبلور على هيئة النموذج البنيوي AlB2 وفق المفاهيم الحديثة.

وقد اعتمدنا أسلوب المناقشة والتحليل في دراسة نوعية وآلية الارتباط الكائن في النموذج البنيوي AIB_2 ، بعيداً عن المفاهيم التقليدية التي كانت في كثير من الأحيان عاجزةً عن تفسير الارتباط في هذه المركبات.

ويمكن للنتائج التي توصلنا إليها أن تكون ذات فائدة علمية ومرجعية ، إذ يمكن الاعتماد عليها كأساس في دراسة النماذج البنيوية المشابهة وتفسير الارتباط الكائن فيها.

الكلمات المفتاحية : النموذج البنيوي AIB2 ، مركبات البور المعدنية

^{*} أستاذ في قسم الكيمياء ،كلية العلوم ، جامعه تشرين ،سورية.

^{*} طالبة ماجستير ،قسم الكيمياء،كلية العلوم ، جامعه تشرين ،سورية.

Study of mechanisms bonding in the binary boron compounds crystallized in structural type AlB2

Dr. Asem Aslan* Kinda Mahmoud**

(Received 22 / 2 / 2015. Accepted 13 / 7 /2017)

\square ABSTRACT \square

The present study aims primarily to interprete the correlation in a large array of metal compounds of Boron element, We have adopted the method of discussion and analysis in the study of the quality and correlation mechanism of the structural model AlB_2 , Away from traditional concepts that were often unable to explain the bonding in these compounds .

The results can be useful scientific and reference; We can rely on them as a basis for studying similar structural models and explain the bonding in them.

Keywords: Boron compounds , AlB₂-type diborides

^{*}Professor, Chemistry Department, Faculty of Science, Tishreen University, Syria.
**Postgraduate Student Chemistry Department, Faculty of Science, Tishreen University, Syria

مقدمة:

تحتل مركبات البور مكانة فريدة في مجال الدراسة ؛ لما تتمتع به من خواص هامة ، كالناقلية الحرارية والصلابة العالية . فالبلورات العنصرية للبور تأتي في المرتبة الثانية في الصلابة بعد الماس. توفر قدرة البور على الارتباط مع باقي العناصر مجموعة واسعة من المواد الصلبة المتنوعة. وتجدر الإشارة إلى أن الدراسات التي تناولت الخصائص العازلة والناقلية الفائقة للمركبات المعدنية للبور أحدثت ثورة في عالم الأبحاث في الآونة الأخيرة. [1]

أهمية البحث وأهدافه:

إن تحديد نوع الارتباط في أي نموذج بنيوي لا يقل أهمية عن تحديد الأجزاء التي يتألف منها هذا النموذج ؛ لأن معالجة نوع القوى التي تربط أجزاء البنية البلورية بعضها ببعض يعطي تصورات واضحة عن تماسك البنية البلورية و الصلابة و خواص الناقلية الكهربائية . يعتمد نوع القوى التي تربط الذرات في اي نموذج بلوري على المسافة بين الذرات ؛ معطيات الأبعاد بين الذرات وطريقة توضعها في النموذج البنيوي تقدم تصوراً واضحاً عن قوة الارتباط وتساعد في تفسير الخواص الفيزيائية والكيميائية للمركبات.

وجدنا من خلال دراسة المركبات المعدنية للبور مجموعة من المشاكل التي تتعلق بهذه المركبات ومن هذه المشاكل:

- صعوبة فهم آليات الارتباط في هذه المركبات.
- غياب الدراسة المتكاملة للارتباط في جميع مركبات البور.
- إبراز أهمية هذه المركبات من الناحية التطبيقية ، فهي تعد مجالاً خصباً للدراسة والبحث.

طرائق البحث ومواده:

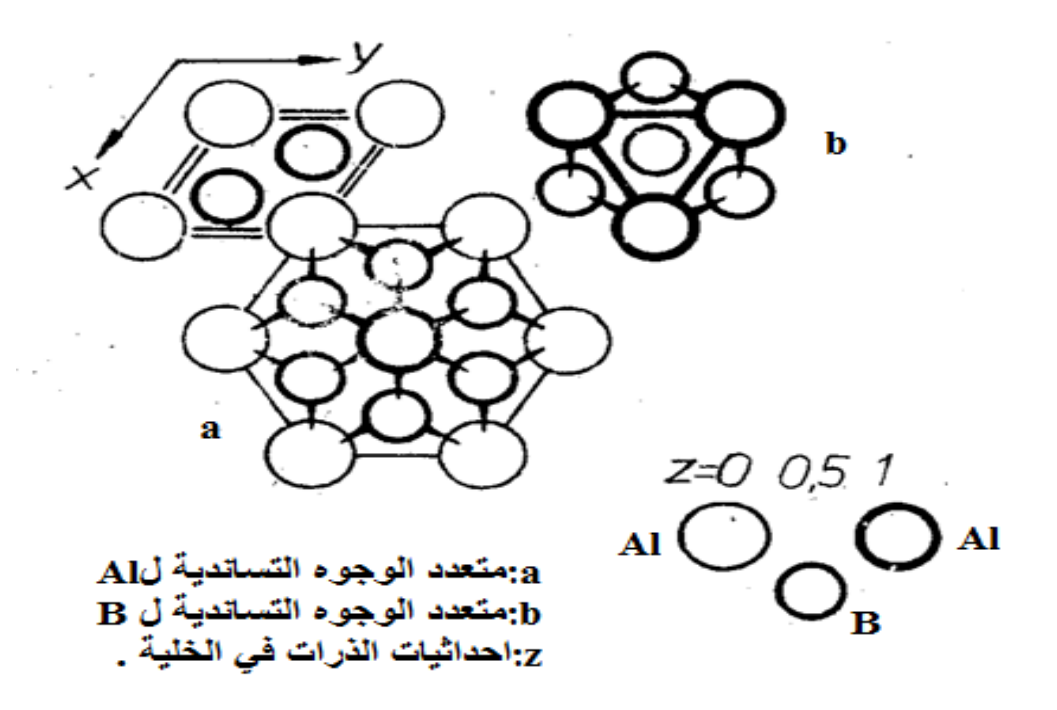
اعتمدنا في طريقة العمل على تصنيف المركبات المعدنية الثنائية لعنصر البور، التي يشكلها مع عناصر الجدول الدوري وفقا للنموذج البنيوي AlB₂. ومن ثم قمنا بتوضيح الأبعاد بين الذرات وحساب النسبة المئوية للتقلص أو الازدياد في هذه الأبعاد بناء على العلاقتين الرياضيتين المشار إليهما في الصفحة التالية .

كما قمنا بمقارنة هذه الأبعاد مع أنصاف الأقطار الذرية، وحاولنا استتاج العلاقة بينهما، كما ربطنا بين الخصائص البنيوية والخصائص الفيزيائية لهذه المركبات بهدف وضع تصور واضح عن نوع الارتباط في هذه المركبات.

النتائج والمناقشة:

يتبلور وفق النموذج البنيوي AlB₂ اثنان وعشرون مركباً ، كما هو معلوم [2] ، وهذه المركبات هي: MgB₂,ScB₂, YB₂,GdB₂,DyB₂,HoB₂,ErB₂,TmB₂,YbB₂, LuB₂, UB₂, PuB₂, TiB₂, ZrB₂, HfB₂, VB₂,NbB₂,TaB₂,CrB₄,MoB₂, MnB₂,AlB₂

يبين الشكل (1) مسقط الخلية البلورية العنصرية للنموذج البنيوي AlB_2 على المستوي XY ومتعددات الوجوه التساندية لكل من AlB_2 و AlB_3 التساندية لكل من AlB_3 و AlB_3 التساندية لكل من AlB_4 و AlB_5 التساندية لكل من AlB_5 التساندية لكل



الشكل (1) مسقط الخلية البلورية العنصرية للنموذج البنيوي AIB2

إن بنية المركب AlB₂ لها شكل طبقي ، وهي تشبه بنية الغرافيت ؛ حيث تتناوب الطبقات السداسية لذرات البور مع الطبقات السداسية للألمنيوم وفق الترتيب ABAB .

يتضمن الجدول (1) قيم نصف قطر ذرة المعدن r_M فضلا عن كهرسلبية المعدن ، وحسابات النقلص و الازدياد في الأبعاد وتظهر في الجدول (2) مركبات البور التي تتبلور وفق النموذج البنيوي a,c وأطوال أضلاع الخلية البلورية a,c وفق القيم المعتمدة في المرجع [3] .

تم حساب قيم الأبعاد بين ذرات البور ДВ-В من العلاقة:

$$d_{B-B} = \frac{a\sqrt{3}}{3}$$

أما قيم الأبعاد بين ذرة المعدن والبور Дм-в فحسبت من العلاقة:

$$d_{M-B} = \sqrt{\frac{a^2}{3} + \frac{c^2}{4}}$$

حيث : d_{B-B} البعد بين ذرتي البور.

البعد بين ذرة المعدن والبور. d_{M-B}

a,c أضلاع الخلية البلورية.

وقد أخذت قيم كل من a,c من المرجع [3] وأما قيم التقلص أو الازدياد في الأبعاد d_{B-B} و d_{M-B} فقد تم حسابها باستخدام العلاقتين:

النقاص
$$= \frac{(r_A + r_B) - d_{A-B}}{r_A + r_B} * 100$$
 $= \frac{d_{A-B} - (r_A + r_B)}{r_A + r_B} * 100$

حيث : r_{M} يمثل r_{M} نصف قطر ذرة المعدن في بحثنا الحالي .

يمثل نصف قطر ذرة البور في بحثنا الحالي. r_{B}

و الجدير ذكره أن قيم كل من r_B و r_B أخذت من المرجع [5].

إن الدراسات حول انتقال الشحنه في المركبات التي تتبلور وفق النموذج البنيوي AlB_2 متناقضة إذ يذكر في B_2 (1.7) الكترون من ذرة البور B_3 الله المعدن كما في المعدن كما في المركبات B_3 (1.7) الكترون من ذرة البور B_3 المعدن كما في المعدن كما في المركبات B_3 البور في هذا تقسيراً مناسباً لفهم الصفة الكهربائية لهذه المركبات B_3 ، مع أنه يتناقض مع الارتباط القوي بين ذرات البور في الطبقة الواحدة في حين أن انتقال الشحنه حسب B_3 يتم من المعدن الى البور مع امتلاك المعدن شحنة (B_3 والبور (B_3).

 $r_{M}+r_{B}$ و $2r_{B}$ و d_{M-M} و d_{M-M} و d_{M-B} و d_{B-B} و

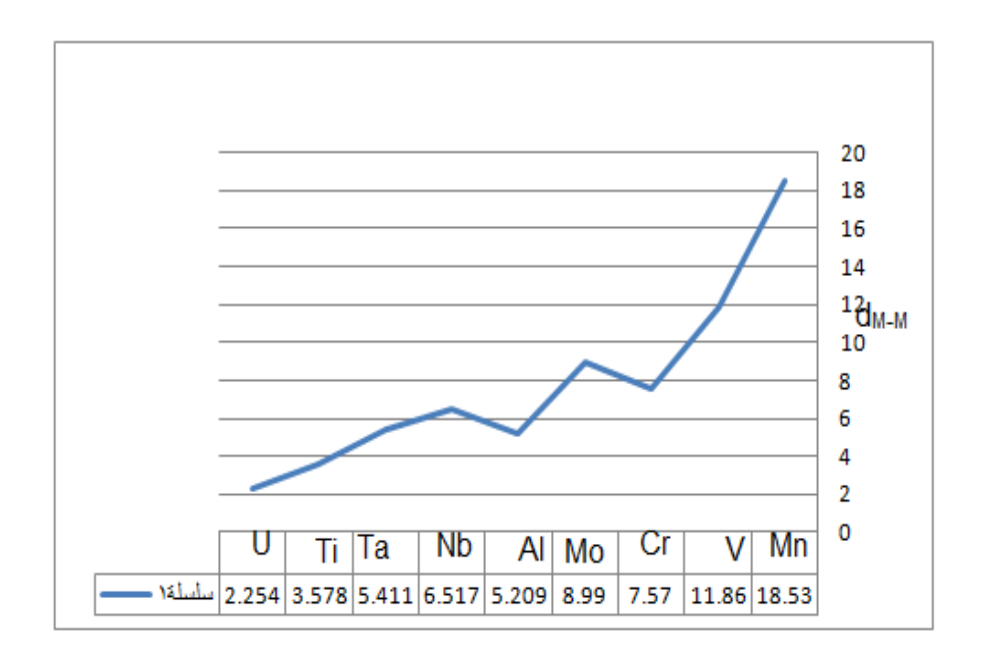
الجدول(1) حسابات التقلص والازدياد والمقارنة بينها وبين نصف قطر ذرة المعدن ٢٨ وكهرسلبية المعدن

	نصف	4	d _{B-B%}	2r _M	9 -49-9	d _{M-M}	1	تقلص
العنصر		d _{B-B} %			الكهرسلبية		ازدیاد م	تعنص d _{M-M%}
	القطر r _M	تقلص	ازدیاد				d _{M-M%}	a _{M-M} %
Mn	1.3	4.63		2.6	1.55	3.082	18.53	
V	1.34	4.95		2.68	1.63	2.998	11.86	
Cr	1.38	5.43		2.76	1.66	2.969	7.57	
Мо	1.39	3.62		2.78	1.16	3.03	8.99	
AL	1.43	4.65		2.86	1.61	3.009	5.20	
Nb	1.45		3.19	2.9	1.6	3.089	6.51	
Та	1.46	2.4		2.92	1.5	3.078	5.41	
Ti	1.46	4.12		2.92	1.54	3.024	3.578	
U	1.53	0.42		3.06	1.38	3.129	2.254	
Hf	1.59	0.42		3.18	1.3	3.141		1.22
Zr	1.60		0.45	3.2	1.33	3.168		1
Mg	1.60	2.25		3.2	1.31	3.082		3.68
Pu	1.62		0.81	3.24	1.28	3.18		1.85
Sc	1.64	0.27		3.28	1.36	3.146		4.08
Lu	1.74		3.01	3.48	1.27	3.246		6.61
Tm	1.74		3.02	3.48	1.25	3. 25		6.61
Er	1.75		4.12	3.5	1.24	3.28		6.28
Но	1.76		4.12	3.52	1.23	3.281		6.28
Dy	1.77		4.12	3.54	1.22	3.285		7.2
Tb	1.77		3.846	3.54	1.20	3.28		7.2
Gd	1.79		4.93	3.58	1.20	3.31		7.54
Υ	1.81		4.72	3.62	1.22	3.304		8.73
Yb	1.93		3.02	3.86	1.1	3.225		15.8

 AIB_2 البحدول (2) مركبات البور التي تتبلور وفق النموذج البنيوي AIB_2 وأطوال أضلاع الخلية البلورية وحسابات التقلص والازدياد مقدرةً بالأنغستروم (A^0) .

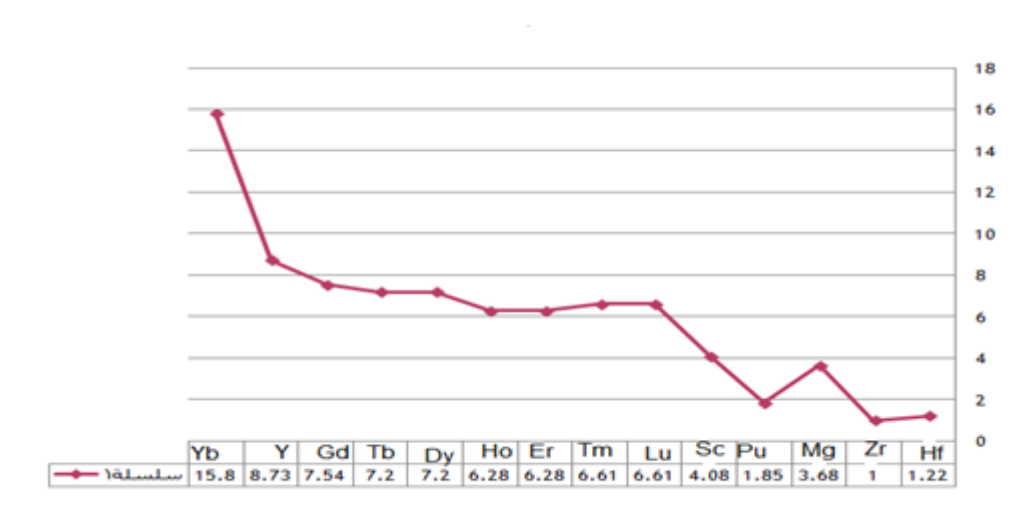
المركب	a _{(A} ')	C _{(A} ')	d _{B-B}	d _{B-B%}	d _{B-B%}	d _{M-B}	r _M +r _B	d _{M-B%}	d _{M-B%}
				التقلص	الازدياد			التقلص	الازدياد
MgB_2	3.082	3.521	1.779	2.25		2.504	2.51	0.25	
ScB ₂	3.146	3.517	1.815	0.27		2.528	2.55	0.85	
YB ₂	3.304	3.843	1.906		4.72	2.708	2.72	0.45	
GdB_2	3.31	3.94	1.910		4.93	2.75	2.7		1.65
TbB ₂	3.28	3.86	1.89		3.846	2.703	2.68		0.85
DyB ₂	3.285	3.835	1.895		4.12	2.697	2.68		0.63
HOB ₂	3.281	3.811	1.893		4.12	2.687	2.67		0.629
ErB ₂	3.28	3.79	1.893		4.12	2.679	2.66		0.729
TmB_2	3.25	3.759	1.875		3.02	2.649	2.65	0.049	
YbB ₂	3.25	3.735	1.875		3.02	2.647	2.84	6.78	
LuB ₂	3.246	3.704	1.873		3.01	2.635	2.65	0.577	
UB_2	3.129	3.989	1.806	0.79		2.691	2.44		10.28
PuB ₂	3.18	3.90	1.834		0.81	2.678	2.53		5.849
TiB ₂	3.024	3.233	1.745	4.12		2.379	2.37		0.396
ZrB ₂	3.168	3.529	1.828		0.45	2.542	2.51		1.258
HfB ₂	3.141	3.42	1.812	0.42		2.509	2.50		0.388
UB ₂	2.998	3.057	1.729	4.95		2.309	2.25.		2.622
NbB ₂	3.089	3.303	1.878		3.19	2.43	2.36		2.9
TaB ₂	3.078	3.265	1.776	2.4		2.413	2.37		1.817
MoB ₂	3.03	3.12	1.754	3.62		2.342	2.30		1.143
MnB_2	3.008	3.034	1.735	4.63		2.306	2.21		4.343
CrB ₂	2.969	3.066	1.713	5.43		2.299	2.29		0.21
AIB ₂	3.009	3.262	1.736	4.65		2.383	2.34		1.829

، في حين نجد أن قيم البعد بين ذرات المعدن d_{M-M} يتناقص بازدياد نصف قطر الذرة M في هذه المركبات كما يظهر في الشكل (2) .



الشكل (2): التغير في البعد طسه مع ازدياد نصف القطر الذري للمعدن

ويلاحظ زيادة في قيم التقلص للبعد d_{M-M} بالمقارنة مع $2r_M$ عند بلوغ نصف قطر ذرة المعدن M القيمة ويلاحظ زيادة في قيم التقلص للبعد d_{M-M} ، إذ تكون الأبعاد d_{M-M} أصغر من $2r_M$ وهذا ما يظهره الشكل (3) المبين أدناه :



الشكل (3):التغير في البعد ممال بازدياد نصف القطر الذري للمعدن

ويظهر من الجدول (2) أن التقلص أو الازدياد في القيم للبعد بين ذرة المعدن والبور d_{M-B} بالمقارنة مع مجموع أنصاف الأقطار r_M+r_B ضئيل جداً.

ولكنه لا $d_{B-B} > 2r_B$ وتجدر الإِشارة الى أنَ انتقال الشحنة من المعدن M إلى البور B ولكنه لا يتوافق مع كون $d_{B-B} > 2r_B$ ولكنه لا يتوافق مع كون $d_{B-M} < 2r_M$.

ووفقاً للمرجع [9] يلاحظ أن MgB_2 ينفرد بناقلية كهربائية فائقة وثمة اختلاف في تفسير آلية الارتباط للمركب MgB_2 عن آلية انتقال الشحنة بين المعدن والبور المبينة أعلاه ؛ فالارتباط بين المعدن والبور في المركب MgB_2 (ومثيلاته من المركبات) لا يترافق بانتقال الشحنة بينهما بل بتشكل الروابط π غير المتمركزة .

وتتأكد وجهة النظر هذه من خلال الملاحظات التالية:

- 1 تخفق اللانثانيدات الخفيفه من Ce → Ce التي تتصف بالكهرجابية العالية (أعلى من اللانثانيدات الثقيلة للعناصر الثقيلة في تشكيل النموذج البنيوي AlB₂.
- 2- البنية شبه الطبقية للمركبات المتبلورة وفق هذا النموذج البنيوي تؤدي الى عدم تأثير القوى الكهربائية الساكنة وغياب التساند الكروى بين المعدن والبور في هذه المركبات.
- U في جميع المركبات صغير جداً بشذوذ عنصري اليورانيوم d_{M-B} في جميع المركبات صغير جداً بشذوذ عنصري اليورانيوم والبلوتونيوم P كما يظهر في الجدول P .
- 4 الازدياد الضئيل في الأبعاد d_{B-B} لا يتجاوز 4% الأمر الذي لا يتوافق مع انتقال الشحنة بشكل ملموس من المعدن الى البور
- d_{M-M} أكبر من d_{M-M} ، ولكن هذا الازدياد يتناقص مع ازدياد نصف قطر المعدن من المنغنيز d_{M} إلى اليورانيوم d_{M} ، وعند الوصول الى عنصر الهافانيوم d_{M} تصبح الأبعاد بين الذرات أصغر من مجموع أنصاف الأقطار ، ويزداد هذا التناقص مع ازدياد نصف قطر المعدن وصولا إلى عنصر الإتربيوم d_{M} ، وهذا الأمر يدل على أن التغير في البعد d_{M-M} لايرتبط بالكهرسلبية وإنما بالعامل الفراغي فقط.
- $M^{2+}B_2^{2-}$ وفق آلية انتقال الشحنة من المعدن الى البور وتشكل المركب AlB_2^{2-} وفق آلية انتقال الشحنة من المعدن الى البور وتشكل المركبين YB_2 , ScB_2 ؛ إذ لا يعرف عادة لهذين العنصرين إلا درجة الأكسدة الثلاثية .

الاستنتاجات والتوصيات:

الاستنتاجات:

توصلنا من خلال هذه الدراسة النظرية إلى تصور واضح عن طبيعة الارتباط في المركبات التي تنتمي إلى النموذج البنيوي AlB_2 ، حيث توجد بين ذرات البور روابط مشتركة ، في حين ترتبط ذرات المعدن مع ذرات البور في هذه المركبات من خلال الروابط π غير المتمركزة .

التوصيات:

يمكن الاستفادة من هذا البحث في مجال الاصطناع اللاعضوي للمركبات المعدنية للبور.

المراجع:

- [1] OGANOV1,2*.A.R, CHEN3,4.J, GATTI5, MA6.Y, MA1,7.Y,. GLASS1.W, LIU8.Z, YU3.T, KURAKEVYCH9 .OO,SOLOZHENKO.V, *Ionic high-pressure form of elemental boron* Publisher: NPG; Nature; 10.1038/nature0773(2009)P-15
 - [2] Gallide-U.N Green. P.E., Gladechyckl, metalorzi, Moscow, (1989)p-64
 - [3].KYZMA.U.B -crystallochemi boredof-V.S.A.scola,lvive,(1983)p64.
- [4]ASEM MOHAMED ASLAN, the bonding in the binary intermetalli compounds crystallized in Natp structure type, Int.n.j of chem. Vol.10-No-1(2000)p-17-21
 - [5]Bokel.G.B, crystal chmy. Moscow.(1971) p285
- [6] VAJEESTON. P., RAVINDRAN .P, RAVII.C, AND ASOKAMANII.R, *Electronic structure, bonding, and ground-state properties of AlB2-type transition-metal diborides*, Physical Review B, Volume 63, 045115(2001)
- [7]POST. B -Boron, metallo-Boron compounds and Borans-Newyork, Interscience(1964)P-71
 - [8]Silner, A.H., COSSIDA.A.T, chem. Phys , Moscow, (1963) V-38 P.865-867
- [9] Belas K.D., , coexistence of covalent and metallic bonding in the boron intercalation superconductor MgB_2 , Physical Review.B-64,092503-(2001).